

(原著論文)

## バイカル湖集水域における過去 25 万年間の植生変遷

尾田 武文<sup>1)</sup>・箕浦 幸治<sup>1)</sup>・藤村 千鶴<sup>1)</sup>・中村 俊夫<sup>2)</sup>・河合 崇欣<sup>3)</sup><sup>1)</sup> 東北大学理学部地圈環境科学科 〒980-8578 仙台市青葉区荒巻字青葉<sup>2)</sup> 名古屋大学年代試料研究センター 〒464-0814 名古屋市千種区不老町<sup>3)</sup> 国立環境研究所化学環境部 〒305-0053 つくば市小野川 16-2

(2000 年 3 月 31 日 受付, 2000 年 6 月 19 日 受理)

Vegetation History of the Baikal Drainage Basin during the Last 250,000 Years

Takefumi ODA<sup>1)</sup>, Koji MINOURA<sup>1)</sup>, Chizu FUJIMURA<sup>1)</sup>,  
Toshio NAKAMURA<sup>2)</sup> and Takayoshi KAWAI<sup>3)</sup><sup>1)</sup> Institute of Geology and Paleontology, Tohoku University,  
Aoba, Aramaki Sendai, 980-8578 Japan<sup>2)</sup> Dating and Materials Research Center, Nagoya University,  
Furo-cho, Chikusa, Nagoya, 464-0814 Japan<sup>3)</sup> Environmental Chemistry Division, National Institute for Ecology,  
16-2 Onogawa, Tsukuba, 305-0053 Japan

A sediment core from the Academician Ridge of Lake Baikal was analyzed for pollen and siliceous-shell fossils in an attempt to evaluate the effect of climate on terrestrial vegetation and aquatic productivity in and around a intracontinental lake. The vegetation history of the Baikal drainage basin was reconstructed on the basis of palynological data, and it has been clear that 15 distinctive episodes of the lake conditions are recorded in the cored sequence: stage H (cool and dry : 250 to 244ka), stage G 3 (warm and wet : 244 to 232ka), stage G 2 (cool and dry : 232 to 225ka), stage G 1 (warm and wet : 225 to 190ka), stage F 2 (cool and dry : 190 to 170ka), stage F 1 (cool and wet : 170 to 130ka), stage E 5 (warm and wet : 130 to 113ka), stage E 4 ( cool and dry : 113 to 107ka), stage E 3 (slightly warm : 107 to 95ka), stage E 2 (slightly cool : 94 to 90ka), stage E 1 (slightly warm : 90 to 74ka), stage D (cool and dry : 74 to 35ka), stage C (slightly cool : 58 to 41ka), stage B (cool and dry : 41 to 16ka), stage A (warm and dry : 16 to 0ka). The palynological results show an abrupt expansion of coniferous forests in stage E 5, representing the simultaneous onset of climatic amelioration in Siberia with global warming following the last deglaciation. Biogenic silica content suggests that the fluctuation of surface water productivity has been synchronous with the changes of terrestrial vegetation, and the high productivity is ascribed to increased inputs of nutriments and dissolved silica, which were liberated by biochemical weathering of primary minerals in the watershed.

**Key Words :** Lake Baikal, global climatic change, vegetation history, aquatic productivity

## はじめに

バイカル湖湖底堆積物試料を用いたユーラシア大陸内陸部における古環境変動の解析は、これまで主として生物源シリカ含有量あるいは珪藻含有量で評価される湖内生産量の増減と氷期・間氷期周期の対応関係に関する研究がなされてきた<sup>(1)-(2)</sup>。Williams *et al.*<sup>(3)</sup>は、BDP96-Hole 2 コアを用いた生物源シリカ含有量の高分解時系列解析を試み、過去 250 万年間の湖内生産変動の履歴を明らかにし、この湖内生産が地球軌道要素と深く関わっていることを示した。その他、粘土鉱物の X 線反射強度の測定や安定同位体の測定などにより、バイカル湖とその集水域における古環境復元の試みも数多くなされている<sup>(4)-(7)</sup>。一方、花粉学的研究による古環境変動の解明が期待されているが、これまで 100m コア BDP93 に基づく 80 万年以降の大まかな植生変遷の解明<sup>(8)-(9)</sup>の他、高分解能時系列情報としての植生変遷史は Bezrukova<sup>(10)</sup>、尾田ほか<sup>(11)</sup>、三好ほか<sup>(12)</sup>などによる最終氷期以降の花粉分析による研究にとどまっている。こうした状況を鑑み、本稿では、詳細な花粉化石分析による後期更新世以降の陸上植生の変遷の復元を試み、この結果に堆積学的情報を加えて、過去 25 万年間にバイカル湖集水域の環境変動が及ぼした湖内生産への影響についても考察を行った。

## 試 料

本研究では、アカデミシャンリッジ ( $53^{\circ}41'52''N$ ,  $108^{\circ}21'06''E$ , 水深 320m) で採取したVER96-2 St. 3 重力式コア（試料長 473.5cm）と VER96-2 St. 3 ピストンコア（試料長 473.5cm）を用いた<sup>(13)</sup> (Fig. 1)。重力式コア試料に採取時の堆積攪乱は認められなかつたが、ピストンコア試料では深度 0 - 8 cm 及び 463 - 473.5cm において採取時の堆積攪乱が認められた。本稿では Minoura *et al.*<sup>(13)</sup> に従い岩相および含水率による対比から、重力式コア試料で深度 455.5cm とピストンコア試料で深度 41cm の層準を同一層準としてこれら 2 つのコアを連結し、堆積攪乱層を除いた層厚 877.5cm の一連の堆積層として解析を行った (Fig. 2)。堆積物相は、下位より葉理の発達する粘土質シルト（深度 877.5 - 869.5cm）、葉理の発達する珪藻質シルト（深度 869.5 - 799.5cm）、葉理の発達する粘土質シルト（深度 799.5 - 658cm）、葉理の発達する珪藻質シルト（深度 658 - 588cm）、葉理の発達する粘土質シル

ト（深度 588 - 549.5cm）、葉理の発達する珪藻質シルト（深度 549.5 - 502.5cm）、葉理の発達する粘土質シルト（深度 502.5 - 491.5cm）、葉理の発達する珪藻質シルト（深度 491.5 - 482.5cm）、葉理の発達する粘土質シルト（深度 482.5 - 472.5cm）、葉理の発達する珪藻質シルト（深度 472.5 - 446.5cm）、葉理の発達する粘土質シルト（深度 446.5 - 312.5cm）、塊状粘土質シルト（深度 312.5 - 291.5cm）、葉理の発達する粘土質シルト（深度 291.5 - 226.5cm）、塊状粘土質シルト（深度 226.5 - 108cm）、塊状シルト（深度 108 - 92cm）、葉理の発達するシルト（深度 92 - 54cm）、および葉理の発達する珪藻質シルト（深度 54 - 0 cm）であった。また、深度 742.8 - 742.3cm および深度 658 - 657cm の層準で細粒砂を含むシルト層が挟在する。

## 分析方法

柱状堆積物試料から 2 cm 間隔で分析試料を採取し、花粉分析と生物源シリカ含有量および粒度分析を行った。深度 326.5cm, 296.5cm, 226.5cm, 159cm, 119cm, 107cm, 89cm, 69cm, 49cm, 29cm, 9 cm の 11 の層準から得た試料については、有機炭素を抽出し、AMS 炭素同位体年代の測定を行った。

### AMS<sup>14</sup>C 年代測定

測定変量の時系列変動を明らかにする目的で、加速器質量分析計による炭素同位体年代測定を行った (Table 1)。グラファイト還元処理を施した全岩中の有機炭素について、名古屋大学年代測定試料研究センターのタンデットロン加速器質量分析計を用いて <sup>14</sup>C / <sup>13</sup>C 値を測定し、あわせて安定同位体質量分析計 MAT-252 (FINNIGAN MAT-252) を用いて炭素の安定同位対比を測定した。<sup>14</sup>C 半減期を 5568 年とし、有機物交換の同位体分別効果を考慮し中村<sup>(14)</sup>および小田<sup>(15)</sup>に従い以下の式で補正して、AMS<sup>14</sup>C 年代値を求めた。

$$\text{AMS}^{14}\text{C Age} = -1 / ((\ln 2) / 5568) \cdot \ln ((R \cdot 0.9326) / (0.9142 \cdot (1 + C / 1000)))$$

ここで、R は試料の (<sup>14</sup>C / <sup>13</sup>C 比) / (標準試料の <sup>14</sup>C / <sup>13</sup>C) 比で、C は試料の  $\delta^{13}\text{C}$  値である。標準試料には NBS oxalic acid SRM-4990 ( $d^{13}\text{C} = -19.0\text{‰}$ ) を用いた。

### 花粉分析

バイカル湖アカデミシャンリッジの堆積物では総花

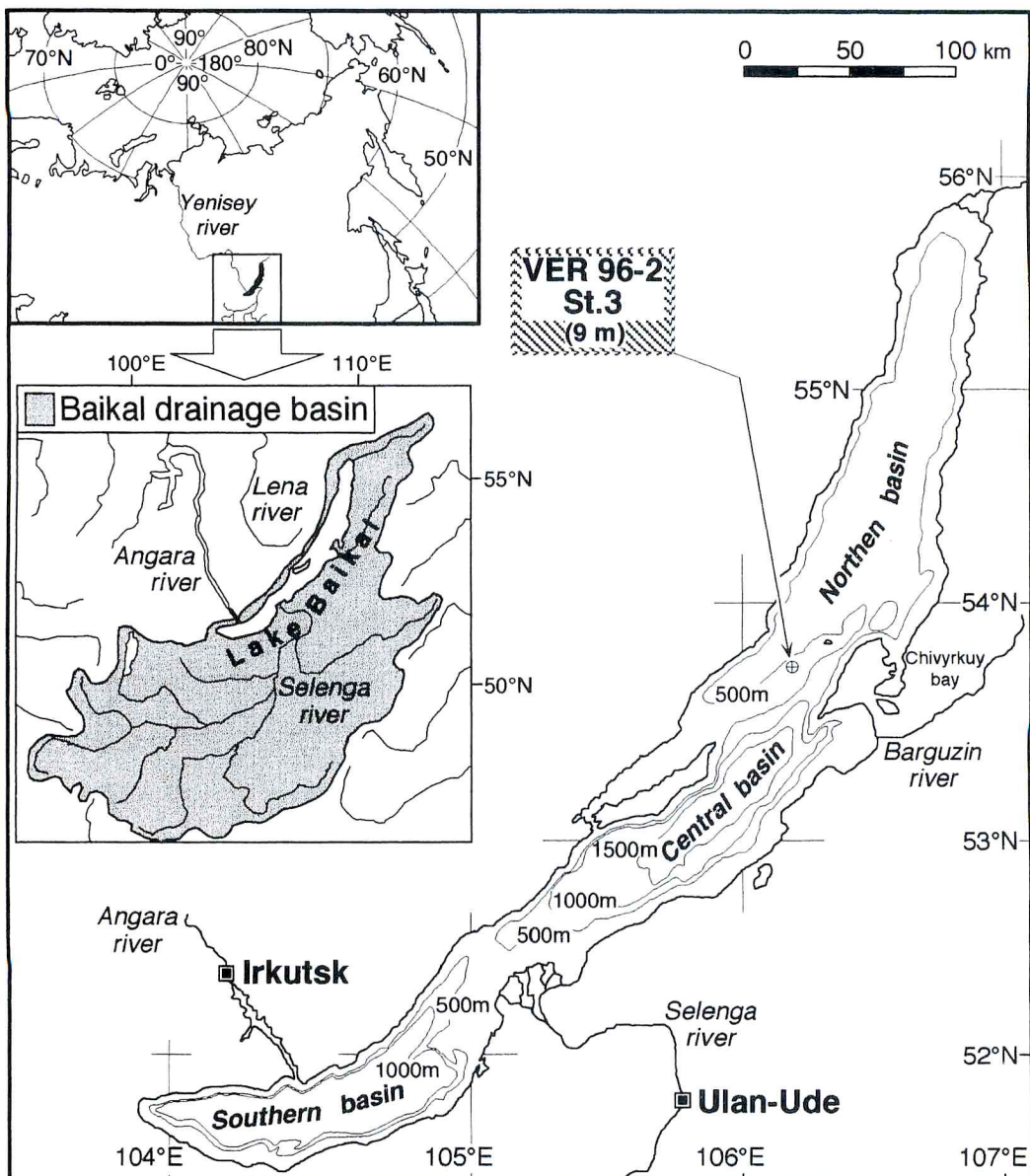


Fig. 1. Map of Lake Baikal showing the location of the core used in this study  
(VER96 / 2 St. 3).

粉量の少ない層準と多い層準とで100倍以上の極端な量差があることが知られている<sup>(11)</sup>。このことを考慮し全ての層準で花粉群集変動の特徴を明らかにするため、以下の手順で各分類群ごとの花粉量の測定を行った。花粉の絶対量を測定するため、1gの乾燥試料にマーカー溶液 (Dupont社製 microsphere; 40,000 grains / mlに調整) を1ml加え、苛性カリ・フッ酸・

アセトリシス法で処理した。花粉総量が少ない (5000 grains / g以下) 層準については各試料ごとにマーカー200個 (乾燥試料5mg当たり) で産出した花粉について同定し各分類群の花粉量を測定した。花粉総量が多い層準 (5000grains / g以上) については、マーカー50個以上 (乾燥試料1.25 - 5.0mg当たり) で出現する花粉を対象として200個程度を同定し、総花粉量と

Table 1. AMS radiocarbon ages for the Academician ridge core (VER96 / 2 St. 3).  $\delta^{13}\text{C}$  correction according to Nakamura (1994) and Oda (1994).

Depth (cm)	TN (wt %)	TOC (wt %)	$\delta^{13}\text{C}$ (‰)	Analytical age (yr. B. P.)	Corrected age (yr. B. P.)	$1\sigma$ error (yr.)
9	0.19	1.64	-28.08	3,590	3,520	80
29	0.13	0.99	-26.88	4,590	4,550	90
49	0.26	2.36	-28.64	6,480	6,380	90
69	0.19	1.90	-28.15	9,260	9,150	100
89	0.15	1.33	-28.53	11,800	11,640	130
107	0.10	0.84	-28.83	14,630	14,410	140
119	0.05	0.33	-21.33	20,770	21,200	230
159	0.05	0.28	-21.78	22,540	23,010	240
226.5	0.07	0.45	-22.82	29,770	30,540	490
296.5	0.07	0.46	-22.80	33,260	34,470	690
326.5	0.08	0.37	-22.77	33,810	35,140	760

産出花粉頻度から各分類群の花粉量を計算した。測定した堆積物単位重量当たりの花粉・胞子量は堆積物密度<sup>(14)</sup>で規格化し、堆積物単位体積当たりの花粉・胞子量を求めた。

#### 生物源シリカ含有量

生物源シリカ含有量はアルカリ抽出法<sup>(16)</sup>により以下の手順で測定した。粉碎した乾燥試料 10 ~ 40mg に過酸化水素および塩酸処理を施し、蒸留水で洗浄した後に再び乾燥させた後、85°C の炭酸水素ナトリウム溶液で 5 時間かけて非晶質シリカを抽出した。この溶液について、誘導結合高周波プラズマ発光分光分析計 (ICP 61E Trace Analyzer) を用いて Si および Al 含有量を測定した。ここでは溶液中に含まれる碎屑物中の Si 量を考慮して、同時に測定した Al 含有量で Si 含有量を規格化<sup>(16)</sup>し、生物源シリカ含有量とした。

#### 粒度分析

蒸留水に分散させた 10 ~ 20mg の未固結試料について、レーザー回折式粒度分析装置（島津 SALD-3000）を用いて、0.1 ~ 2,000 μm の範囲で対数値刻みの 51 段階で粒径の頻度分布を測定した。Fig. 2 に示した粒度の頻度分布は体積%で表してある。

## 結果

#### 年代値

深度 322.5cm までの測定試料について、炭素同位体年代の測定を行ったが (Table 1)、本コア試料で深度

326.5 - 119cm の有機炭素量が 0.33 - 0.46% と極めて低く、かつ得られた  $^{14}\text{C}$  /  $^{13}\text{C}$  値が極めて小さいことから、本稿では深度 107 - 9cm での炭素同位体年代のみを採用した。得られた年代値に従い深度 107cm 以浅の堆積速度 (Fig. 2) を求めると、深度 107 - 9cm では 6.4 - 19.4cm / kyr であり下部から上部に向かって徐々に速くなる傾向がある。

#### 花粉分析

針葉樹では *Pinus*, *Abies*, *Picea* および *Larix* が産出し、ごくまれに *Tsuga* が産出する。落葉広葉樹および低木類では *Betula* と *Alnus* および *Salix* が多産し、*Corylus* と *Carpinus* が少量であるが産出するほか、*Ericaceae* や *Ulmus*, *Rosaceae* などがごくまれに産出する。草本類では *Gramineae*, *Cyperaceae*, *Chenopodiaceae* および *Artemisia* が主であるほか、少量の *Thalictrum*, *Caryophyllaceae*, *Cichorioideae* および *Carduoideae* の産出が確認され、極めて少量の *Labiatae* や *Umbelliferae* などの産出が認められた。シダ類では *Lycopodium*, *Polypodiaceae* および *Selaginella* の産出が認められた。本柱状試料では花粉総量 (Fig. 2) の多い層準と極めて少ない層準とで明瞭に区分できるが、各分類群で産出層準 (Fig. 3) が幾分異なっている。産状について以下に説明する。

*Pinus*: *Pinus* については厳密に二葉・五葉タイプに区別はしなかったが、その多くは二葉タイプであった。深度 660.5 - 598cm および深度 94 - 0cm において 10,000 ~ 200,000 grains / cm<sup>3</sup> と極めて多く、深度 833.5 - 809.5cm では 5,000 ~ 50,000 grains / cm<sup>3</sup> と多

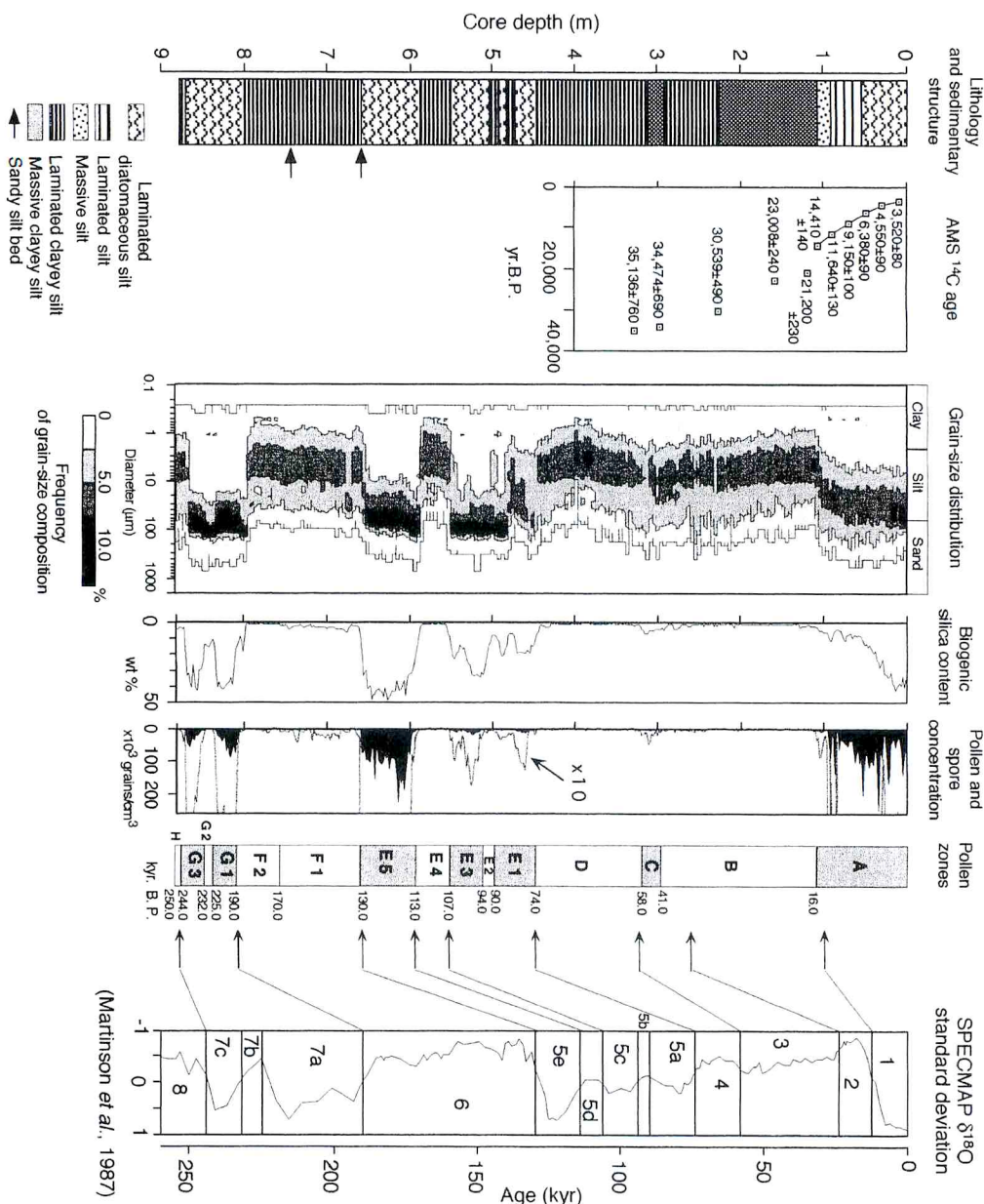


Fig. 2. Stratigraphic changes of Grain-size distribution, Biogenic silica content and Pollen and Spore concentration of core VER96 / 2 St. 3. Chronology of the core based on AMS  $^{14}\text{C}$  ages and climatic-proxy correlation with the standardized SPECMAP curves<sup>(20)</sup>.

く、深度 870.5 - 853cm で 3,000 ~ 15,000 grains /  $\text{cm}^3$  程度、また深度 532.5 - 515.5 では 2,000 ~ 5,000 grains /  $\text{cm}^3$  と少なく、その他の層準ではほとんど産出しない。

*Abies* : 深度 869.5 - 856.5cm、深度 829.5 - 811.5cm と深度 660.5 - 604cm において 1,500 ~ 10,000 grains /  $\text{cm}^3$  の範囲で多産する以外、他の層準ではほとんど産出しない。

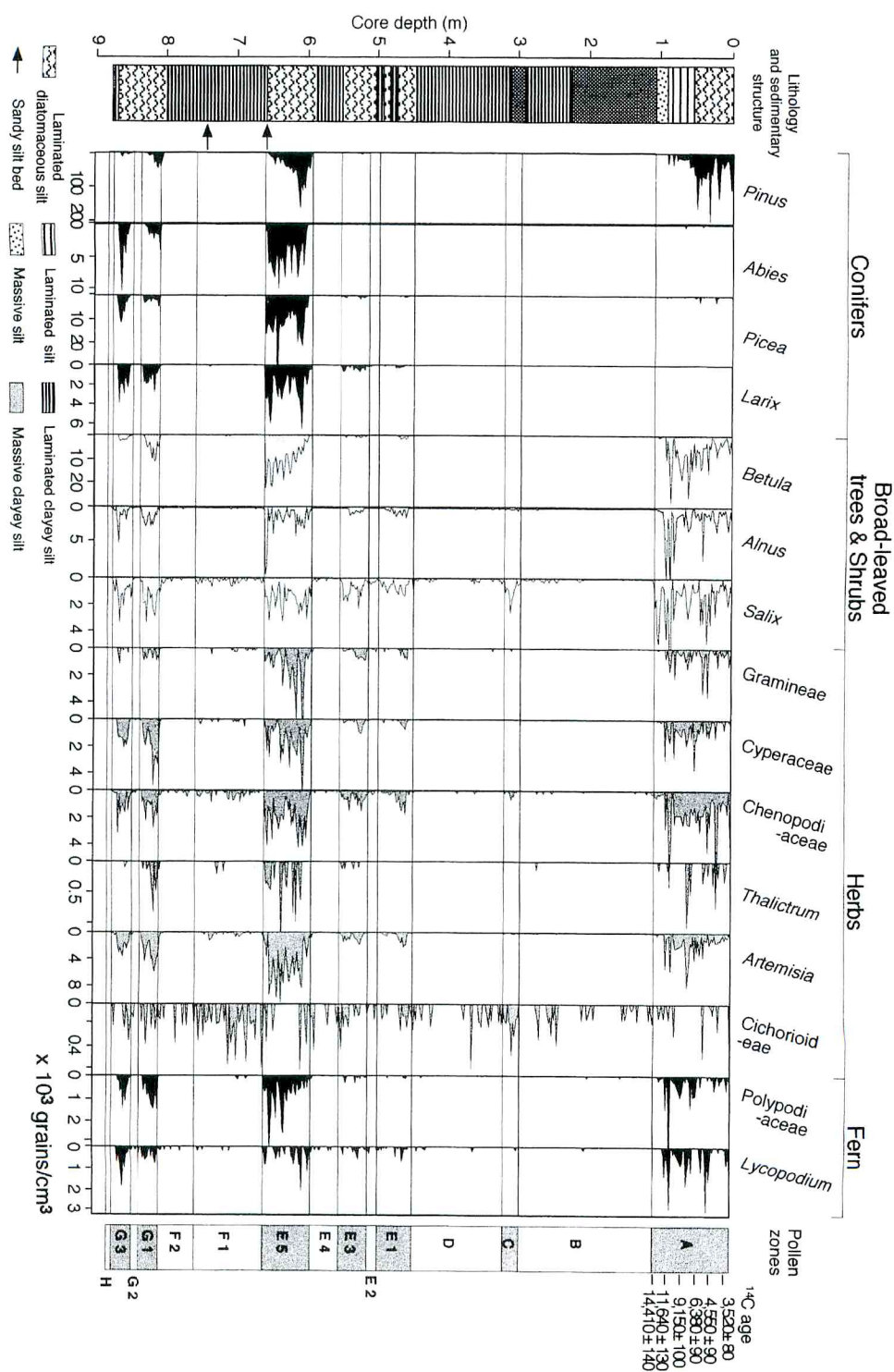


Fig. 3. Pollen concentration diagram of core VER96 / 2 St. 3.

*Picea*：深度 870.5 - 853cm, 深度 833.5 - 809.5cm と深度 660 - 600cm において 2,000 ~ 30,000grains / cm<sup>3</sup> と多産するが, 深度 550 - 515.5cm と 471.5 - 457.5cm および深度 100 - 0cm においては 2,000 grains / cm<sup>3</sup> 以下と少なく, その他の層準では全く産出しない。

*Larix*：深度 660.5 - 594cm, 深度 835.5 - 807.5cm と深度 868.5 - 851.5cm において 500 ~ 6,000grains / cm<sup>3</sup> と多産し, 深度 549.5 - 511.5cm と深度 473.5 - 461.5cm においても 200 ~ 500grains / cm<sup>3</sup> と比較的多く産出する, その他の層準では全く産出しない。

*Betula*：*Betula*について厳密に *B. albae* 型と *B. nana* 型に区別しなかったが, その多くは *B. albae* 型であった. 深度 870.5 - 854.5cm, 深度 833.5 - 809.5cm, 深度 660.5 - 598cm および深度 105 - 0cm において 1,000 ~ 20,000grains / cm<sup>3</sup> と多産する. 深度 547.5 - 515.5cm と深度 471.5 - 457.5cm では 500 ~ 1,500grains / cm<sup>3</sup> と少なく, その他の層準ではほとんど産出しない.

*Alnus*：深度 874.5 - 853.5cm, 深度 835.5 - 813.5cm, 深度 660.5 - 594cm, 深度 539.5 - 517.5cm, 深度 483.5 - 457.5cm および深度 104 - 0cm において 500 ~ 10,000grains / cm<sup>3</sup> と多産し, 深度 321.5 - 271.5cm では 100grains / cm<sup>3</sup> 程度と極めて少ない. その他の層準ではほとんど産出しない.

*Salix*：深度 876.5 - 849.5cm, 深度 836.5 - 801.5cm, 深度 666.5 - 592cm, 深度 549.5 - 447.5cm, 深度 323.5 - 295.5cm および深度 109 - 0cm において 300 ~ 5,000 grains / cm<sup>3</sup> と多産するほか, 深度 757.5 - 666.5cm においては 100 ~ 600grains / cm<sup>3</sup> 程度で少ないながらも産出する. その他の層準ではほとんど産出しない.

*Gramineae*および*Cyperaceae*：深度 870 - 853.5cm, 深度 833.5 - 809.5cm, 深度 660.5 - 594cm, 深度 547.5 - 457.5cm および深度 94 - 0cm において 500 ~ 4,000 grains / cm<sup>3</sup> と多く産出するが, 深度 752.5 - 688.5cm で 200grains / cm<sup>3</sup> 程度と僅かに産出し, その他の層準ではほとんど産出しない.

*Chenopodiaceae*：深度 870.5 - 851.5cm, 深度 660.5 - 594.5cm, 深度 552 - 453.5cm, 深度 835.5 - 809.5cm および深度 108 - 0cm において 1,000 ~ 5,000grains / cm<sup>3</sup> と多く産出する. 深度 757.5 - 668.5cm と深度 305 - 300cm で 100 ~ 600grains / cm<sup>3</sup> 以下と少ないながらも産出するが, 他の層準ではほとんど産出が認められない.

*Artemisia*：深度 870.5 - 853cm, 深度 835.5 - 809.5

cm, 深度 662.5 - 592cm および深度 94 - 0cm では 1,000 - 8,000grains / cm<sup>3</sup> と多産する. 深度 491.5 - 457.5cm, 深度 750.5 - 674.5cm および深度 552 - 511.5cm では 500 ~ 2,000grains / cm<sup>3</sup> の産出であるが, 深度 321.5 - 299.5cm においては 100grains / cm<sup>3</sup> 程度と極めて僅かしか産出しない. これ以外の層準では産出しない.

*Cichorioideae*：ほぼ全層準を通して 100 ~ 600grains / cm<sup>3</sup> 程度の産出がある.

#### 生物源シリカ含有量

0 - 50wt% の範囲で産出の多い層準と少ない層準を繰り返す (Fig. 2). 深度 876.5 - 870.5cm では 3% 程度と少い. 深度 870.5 - 797.5cm では 8 - 40% と多く, 特に深度 868.5 - 849.5cm と深度 832.5 - 809.5cm では 30 - 40% と極めて多い. 深度 797.5 - 747.5cm では 0 - 1% と極めて少なく, その上位の深度 747.5 - 660.5 では 2 - 5% 程度とあまり多くはない. 深度 660.5 - 588cm では 30 - 47% に達し, 全試料を通じて最も含有量が高い. 深度 588 - 554cm では 0 - 1% で極端に少ない. 深度 554 - 443.5cm では 5 - 30% の間で変動し, 深度 546.5cm で 22%, 深度 515.5cm で 33%, 深度 488.5cm と 460.5cm で 20% とそれぞれ極大値をとる. 深度 443.5 - 321.5cm では再び 0 - 2% と極めて少くなり, 深度 321.5 - 270cm では 2 - 6% で若干増加する. 深度 270 - 110cm では再び 0 - 2% と極めて少くなり, 深度 107 - 54cm では 4 - 10% となり若干の増加が見られる. 深度 54 - 28cm では上位に向かって 10% から 30% へと漸増する. 深度 28 - 0cm においては 30 - 42% と極めて高い値を取る.

#### 粒径分布

粘土質相と珪藻質相で, 粒径分布パターンに極端な違いが認められる (Fig. 2). 粘土質層準では, 分布域 0.3 - 200μm で 3 - 4 μm に極大値を持ち, 緩やかな山型の分布を成す. 一方, 硅藻質相では, 分布域 0.3 - 600μm において 30 - 40μm と 80μm 或いは 120 μm 付近で極大に達し, 最頻値が 10% を越えることが多い.

### 考 察

#### 花粉帶識別

本稿ではVER96 - 2 St. 3 コアについて, 花粉総量および産出花粉の組み合わせから, 以下の花粉帶

(Fig. 2, Fig. 3) を設けた、ここで花粉総量の変化は気候変動に伴う植生の消長を示している<sup>(11)</sup>と考えられ、大まかに花粉総量の多い層準は間氷期に、逆に少ない層準は氷期に対比できる。

花粉帯 H (878.5 - 871.5cm)：花粉総量 1,000grains / cm<sup>3</sup> 以下と極めて少なく、木本類花粉の産出がほとんどない。

花粉帯 G3 (874.5 - 847.5cm)：花粉総量が 10,000 ~ 60,000grains / cm<sup>3</sup> と極めて多く、針葉樹の *Abies*, *Picea* および *Larix*, 落葉広葉樹の *Betula*, 低木類の *Alnus* と *Salix*, および草本類が多産する。針葉樹の *Pinus* の産出はそれほど多くない。

花粉帯 G2 (847.5 - 835.5cm)：花粉総量が 500 grains / cm<sup>3</sup> 以下極めて少なく、木本類花粉の産出がほとんどない。

花粉帯 G1 (835.5 - 807.5cm)：花粉総量が 20,000 ~ 90,000grains / cm<sup>3</sup> が極めて多く、針葉樹の *Pinus*, *Abies*, *Picea* および *Larix* と落葉広葉樹の *Betula*, 低木類の *Alnus* と *Salix*, および草本類が多産する。

花粉帯 F2 (807.5 - 757.5cm)：花粉総量が 1,000 grains / cm<sup>3</sup> 以下と極めて少なく、草本類の *Chenopodiaceae* と *Cichorioideae* が僅かに産出する。

花粉帯 F1 (757.5 - 660.5cm)：花粉総量が 500 ~ 2,000grains / cm<sup>3</sup> と少なく、草本類の他、僅かに低木類の *Salix* が産出するのみである。

花粉帯 E5 (660.5 - 592cm)：花粉総量が 50,000 ~ 150,000grains / cm<sup>3</sup> と極めて多く、針葉樹の *Pinus*, *Abies*, *Picea* および *Larix* と、落葉広葉樹の *Betula* および低木類の *Alnus*, *Salix* および草本類が多産する。

花粉帯 E4 (592 - 552cm)：花粉総量が 1,000grains / cm<sup>3</sup> 以下と極めて少なく、木本類花粉の産出がほとんどない。

花粉帯 E3 (552 - 511.5cm)：花粉総量が 2,000 ~ 12,000grains / cm<sup>3</sup> と多く、低木類の *Alnus* と *Salix* および草本類が産出するほか、針葉樹の *Picea* と *Larix* および落葉広葉樹の *Betula* が僅かに産出する。

花粉帯 E2 (511.5 - 497.5cm)：花粉総量が 1,000 grains / cm<sup>3</sup> 程度と極めて少なく、低木類の *Salix* および草本類の *Chenopodiaceae* と *Cichorioideae* が産出する。

花粉帯 E1 (497.5 - 447.5cm)：花粉総量が 3,000 ~ 10,000grains / cm<sup>3</sup> と多く、低木類の *Alnus* と *Salix* および草本類が多産するほか、針葉樹の *Picea* と *Larix* および落葉広葉樹の *Betula* が僅かに産出する。

花粉帯 D (447.5 - 319.5cm)：花粉総量が 1,000 grains / cm<sup>3</sup> 以下と極めて少なく、木本類花粉の産出がほとんどない。

花粉帯 C (319.5 - 295.5cm)：花粉総量が 2,000 ~ 5,000grains / cm<sup>3</sup> 少なく、低木類の *Salix* および草本類の *Chenopodiaceae* と *Cichorioideae* が産出する。花粉帯 B (295.5 - 108cm)：花粉総量が 1,000grains / cm<sup>3</sup> 以下と極めて少なく、木本類花粉の産出がほとんどない。

花粉帯 A (試料深度 108 - 0cm)：花粉総量が 10,000 ~ 220,000grains / cm<sup>3</sup> と極めて多く、針葉樹の *Pinus*, 落葉広葉樹の *Betula*, 低木類の *Alnus* と *Salix* および草本類が多産する。

#### 現存植生と花粉帯 A

深度 54cm 以浅（花粉帯 A 上部）での *Pinus* を主体とする針葉樹の花粉の含有量および生物源シリカ含有量があまり変化していないことから、この層準での堆積情報は現世の陸上植生および湖内生産性を反映していると見なしうる。ここで花粉帯 A 上部における *Pinus* を主体とする針葉樹の含有量とアカデミシャンリッジ近傍の主たる現存植生であるトルカ (Turka) 地方の *Pinus silvestris* 林<sup>(17)</sup>との比較から、針葉樹花粉の多産する層準の植生は針葉樹林帯を示すと考えられる。一方、花粉帯 A 上部での *Chenopodiaceae* や *Artemisia*, *Gramineae*, *Cyperaceae* などの草本類花粉の含有量と、アカデミシャンリッジ近傍でオリホン (Ol'khon) 島近辺に限られる現存植生のステップ<sup>(17)</sup>との比較から、草本類花粉の増減はステップの進出の程度を示すと考えられる。

#### 間氷期の植生

樹木花粉が主要な構成要素として識別された花粉帯が温暖な気候下に成立した森林植生に由来するものと考えると、それぞれの花粉帯 G3, G1, E5 および A は間氷期に対比される。花粉帯 G3・G1 では *Pinus* の産出が花粉帯 A ほど顕著でなく、*Abies*, *Picea* および *Larix* が多産する。花粉帯 E5 では花粉帯 G3・G1 同様 *Abies*, *Picea* および *Larix* の産出ばかりでなく、花粉帯 A と同様に *Pinus* の産出も顕著である。このことは、花粉帯 G3・G1 と花粉帯 E5 および花粉帯 A ではそれぞれ針葉樹林の構成が違っていたことを示唆する。すなわち、花粉帯 G3・G1 では *Abies*, *Picea* および *Larix* 林が優先しており、花粉帯 E5 では *Abies*, *Picea* および *Larix* 林に加え

*Pinus* 林も発達していたが、花粉帶 A では *Pinus* 林のみが優占していたと考えられる。これらの針葉樹林の違いをもたらした原因について、以下に考察する。

現在のバイカル湖集水域での各針葉樹林の主な分布<sup>(17)</sup>と気候条件<sup>(18)</sup>を比較すると、*Pinus sylvestris* 林は年間降水量 300 - 500mm のトゥルカ地方とプリモルスキー (Primorsky) 山脈にみられる。一方、*Pinus sibirica* と *Abies* および *Picea* 林はハマルダバン (Khamar-Daban) 山脈とバイカルスキー (Baikalsky) 山脈近辺に、*Larix* 林はバルグジンスキー (Barguzinsky) 山脈近辺にそれぞれ分布しており、いずれの地域も年間降水量は 500 - 1000mm である。このように、針葉樹林の樹種の違いは年間降水量に規制されていると解釈される。VER96-2 St. 3 での *Pinus* のほとんどを *Pinus sylvestris* (二葉マツ) とし、*Pinus* 林と *Abies*, *Picea* および *Larix* 林の違いを乾燥-湿潤を表す指標とすれば、花粉帶 A では *Pinus* 林が発達する比較的乾燥な気候であるのに対して、花粉帶 G3・G1 は *Abies*, *Picea* および *Larix* 林が優占する年間降水量 500 - 1000mm の湿潤な気候であり、花粉帶 E5 では年間降水量 400 - 700mm 程度の中間的な気候化に成立した植生に由来していたと推測される。

### 亜間氷期の植生

花粉帶 E1 から E3 にかけての時期には、針葉樹や落葉広葉樹の産出が少ない。これは最終氷期から完新世初期にかけてみられた山岳氷河の融解に伴う湿地の拡大<sup>(19)</sup>がこの時期に起こったが、森林拡大が低木類 *Alnus* と *Salix* の進出にとどまっていた可能性を示唆している。花粉帶 E1 から E3 の間の花粉帶 E2 では花粉総量が減少し、樹木花粉では低木の *Salix* のみの産出となり、この時期の一時的な寒冷化により植生が衰退したことを示している。花粉帶 C では、花粉総量が少ないとても関わらずその上下の層準に比して *Salix* が増加していることより、この時期にも若干の温暖化による山岳氷河の融解が進み、湿地が拡大して *Salix* の低木林が進出していたと考えられる。

### 氷期の植生

すべての層準から *Cichorioideae* が非常に僅かながら産出することから、氷期でも若干の草本類が生育するだけの表土が露出しており、バイカル湖集水域では氷河によって地表が覆い尽くされることはなかったと推定される。花粉含有量の少ない花粉帶は、前述の花

粉帶 C を除くと、ほとんど花粉の産出しない花粉帶 H, G2, F2, E4, D および B と、比較的少ないが *Chenopodiaceae* や *Artemisia*, *Gramineae*, *Cyperaceae* などの草本類が若干の *Salix* を伴い産出する花粉帶 F1 に大別できる。前者の植生は、花粉産出量の少なさから寒冷乾燥のツンドラ或いは亜極地性砂漠<sup>(20)</sup>のような植物の生育が極めて制限されていた環境であったと考えられる。花粉帶 F1 の植生帶は、草本類の産出が花粉帶 H, G2, F2, E4, D および B に比べ多く、かつ完新世の花粉帶 A に比べ少ないとから、ツンドラ・ステップに相当すると考えられる。

ここで、花粉帶 F2 および F1 での植生と気候要因の関係について考察を加える。花粉帶 F1 における草本類の増加を気温の上昇に起因すると考えると、気温の上昇に伴う山岳氷河の融解と湿地の拡大<sup>(19)</sup>を考慮すれば、花粉帶 C と同様に低木類の *Salix* の増加が期待される。しかし、花粉帶 F1 では *Salix* の増加が見られず、気温の上昇は顕著ではないと考えられる。一方、花粉帶 C に見られる気温上昇に応答する草本類の増加は、*Chenopodiaceae* のみにとどまっていることから、花粉帶 F1 での草本類の *Artemisia* と *Gramineae* および *Cyperaceae* などの増加は、必ずしも気温の上昇に結びつかない。従って、花粉帶 F1 で示唆されるツンドラ・ステップの進出は、植生帶を規制するもう一つの要素である降水量の増加に起因する可能性が大きく、花粉帶 F2 および F1 を通じて寒冷な気候であったと結論される。

### 植生変遷の過程

花粉帶 B から花粉帶 A, 花粉帶 F1 から花粉帶 E5, 花粉帶 G2 から花粉帶 G1 および花粉帶 H から花粉帶 G3 など、氷期から間氷期への移行層準では、下位から低木類の *Salix*、次に *Alnus*、それから高木類の *Betula*、そして針葉樹である *Pinus*, *Picea*, *Abies* あるいは *Larix* の順に花粉量が増加する傾向にある。この傾向は最終氷期から完新世にかけての移行期でも認められ、温暖化による山岳氷河の融解に伴い湿地が拡大した結果、湿地に適応する *Salix* が進出し、続く *Alnus* の進出により植生が拡大し、さらに植生拡大の度合いが進むと高木類の *Betula* が卓越し、最後に *Pinus* などの針葉樹林が繁栄するためと<sup>(19)</sup>解釈されている。それぞれの氷期から間氷期への移行期において、針葉樹林の樹種に *Picea*, *Abies* あるいは *Larix* が加わること以外は最終氷期から完新世にかけての植生変遷と同様であり、温暖化に伴う植生変遷の

機構は全層準を通じて変わらないことを示している。

#### 花粉帯と同位体ステージとの対比

花粉帯 B から A にかけての寒冷期から温暖期への植生遷移を示す *Alnus* と *Pinus* の増加開始が、炭素同位体年代よりそれぞれ 14,000yr. B. P. と 12,300 yr. B. P. と推定され、花粉帯 A での *Pinus* 増加時期以降が酸素同位体ステージ 1 に対比される。また花粉帯 A の最下部での *Salix* の増加開始時期については尾田他<sup>(11)</sup>との対比から 16,000yr. B. P. と推定した。一方、有効な炭素同位体年代が測定できなかった深度 107cm 以深の堆積物については別の年代推定が必要となる。バイカル湖の堆積物での生物源シリカ含有量は、温暖期に高い値を取ることが知られており<sup>(21-24)</sup>、この変動を地球規模での気候変動の応答と考えることによって、地球軌道要素により年代値を調整された酸素同位体変動曲線<sup>(25)</sup>との比較から堆積物の層序年代を推定した。これまでアカデミシャンリッジで採取されたピストンコアでの研究<sup>(1)</sup>との比較から、本コア試料で生物源シリカの含有量で高い値を取る層準に一致する花粉帯 G 3 から G 1, E 5, および E 3 から E 1 をそれぞれ同位体ステージ 7 (244,000 - 190,000yr. B. P.), 5e (130,000 - 113,000yr. B. P.) および 5c ~ 5a (107,000 - 74,000yr. B. P.) に対比した。この内、同位体ステージ 7 および 5c ~ 5a 相当の層準で生物源シリカ含有量が極小値を取り、かつ花粉帯で寒冷期を示す花粉帯 G 2 および E 2 をそれぞれ同位体ステージ 7b (232,000 - 225,000yr. B. P.) および 5b (94,000 - 90,000yr. B. P.) に対比した。また花粉帯 C とほぼ同層準の生物源シリカ含有量の比較的高い深度 321.5 - 270cm を同位体ステージ 3 (59,000 - 24,000yr. B. P.) に対比させ、この年代値から換算した堆積速度より花粉帯 C は 58,000 - 41,000yr. B. P. と見積もった。深度 747.5 - 660.5cm においても生物源シリカ含有量が若干高い値を取るが、同層準での花粉帯 F 2 のツンドラステップが上述のように温暖化を示すものでないことから、F 2 および F 1 を通じて同位体ステージ 6 (190,000 - 130,000yr. B. P.) に対比し、この年代値から換算した堆積速度より花粉帯 F 1 と F 2 の境界は 170,000yr. B. P. と見積もった。コア試料最下部の花粉帯 H を同位体ステージ 8 に對比すると、VER96-2 St. 3 コアは過去 250,000 年間の堆積記録を保存していると考えられる。以上のように推定した年代値を基に堆積速度を見積もると、0.8 - 19.4cm / kyr の範囲で変動するが、その

平均値は 3.5cm / kyr となり、これまで見積もられてきたアカデミシャンリッジでの堆積速度 4 cm / kyr<sup>(3) (26)</sup> とはほぼ一致する。

#### 堆積物の粒径分布

本研究で得られた粒度分析の結果から、珪藻質層準でのシルト～砂サイズ径粒子の頻度は、産出する各種珪藻化石種の大きさを示していると考えられる。例えば深度 865 - 800cm、深度 670 - 600cm および深度 550 - 480cm での極大値である 120 μm の粒径に相当する粒子は、顕微鏡観察の結果、*Stephanodiscus grandis*<sup>(27)</sup> のバルブの直径であることが判明した。従って、それぞれの珪藻に富む層準の粒径分布に見る極大値の位置は、その層準での珪藻化石群集の違いを示していることになる。また、珪藻殻に乏しい層準でのシルト粒子は、顕微鏡観察の結果、石英粒などの碎屑粒子であった。アカデミシャンリッジにはターピダイト性物質の供給がほとんどなく<sup>(7)</sup>、碎屑粒子の多くは水中あるいは空中浮遊物、もしくはアイスラフトによる供給であると考えられる。

#### バイカル湖集水域での陸上植生変化と湖内生産

Fig. 2 で示される生物源シリカ含有量の増減は、湖内生産性の変動を反映している<sup>(1-3) (21-24)</sup>と考えられ、総花粉・胞子含有量変動と比較したとき、湖内生産性変動は陸上植生の消長と極めてよく一致していることが分かる。Horiuchi *et al.*<sup>(7)</sup>は、最終氷期から後氷期にかけて植生が関与する土壤形成の程度が全地球的気候変動に応答しており、土壤に起源する栄養塩類の湖内への供給量が変化し、これに答えて湖内での珪藻生産性が変動するためと解釈した。本研究の結果から、このような地球環境変動に対する湖内生産性の応答が少なくとも 250,000yr. B. P. まで遡って同様に説明できることが明らかとなった。また、珪藻群集の変化と陸上植生の変遷を比較すると、湿潤気候を示す *Picea*, *Abies* および *Larix* 林の発達していた花粉帯 G 3 と G 1 および E 5 では 100 - 120 μm 径の珪藻種が卓越しているが、乾燥気候を示す *Pinus* 林のみ発達していた花粉帯 A では 30 - 40 μm の珪藻種が卓越しており、陸上植生の変化と珪藻群集変化が良く一致していることが明らかである (Fig. 2)。バイカル湖内での珪藻生産性が栄養塩を供給する土壤形成に大きく依存していると考えるなら、堆積物に含まれる珪藻群集の違いは陸上植生に由来する栄養塩類の質的変化に起因すると解釈できる。

## 要 約

バイカル湖アカデミシャンリッジで採取したコアVER96-2 St. 3について花粉分析を行った結果、過去250,000年間にわたるバイカル湖集水域での植生変遷が明らかにされた。間氷期に針葉樹林が発達し、亜間氷期には植生の拡大が低木林の進出にとどまり、氷期には亜極地性砂漠或いはツンドラなど極めて貧弱な植生であった。最終間氷期(同位体ステージ5e)およびその前の間氷期(同位体ステージ7)での針葉樹林構成は現在の針葉樹林に比べ潤湿な気候を示している。また、陸上での植生変化と湖内生産性の関係は極めて密接であり、陸上植生に依存した土壤形成は湖内の珪藻群集構成にまで影響をもたらした可能性がある。

## 謝 辞

本論で使用した試料の採取には、ロシア科学アカデミー陸水学研究所のM. Grachev所長の協力を得た。生物源シリカの測定には東京大学原子力研究総合センターの堀内一穂博士の協力を得た。粒度分析に関しては東北大学理学部の阿部泰恵氏と加藤亜鐘氏に手伝っていただいた。

## 引 用 文 献

- (1) Colman, S. M., Peck, J. A., Karabanov, E. B., Carter, S. J., Bradbury, J. P., King, J. W., Williams, D. F. (1995) : Central climate response to orbital forcing from biogenic silica records in Lake Baikal. *Nature* **378**, 769-771 (1995).
- (2) Grachev, M. A., Likhoshwai, E. V., Vorobyova, S. S., Khlystov, O. M., Bezrukova, E. V., Veinberg, E. V., Goldberg, E. L., Granina, L. Z., Kornakava, E. G., Lazo, F. I., Levina, O. V., Letunova, P. P., Otinov, P. V., Pirog, V. V., Fedotov, A. P., Iaskevich, S. A., Bobrov, V. A., Sukhorukov, F. V., Rezchikov, V. I., Fedorin, M. A., Zolotarev, K. V., Kravchinsky, V. A. : Signal of the paleoclimates of upper Pleistocene in the sediments of Lake Baikal. *Russian geology and geophysics* **38** (5), 957-980 (1997).
- (3) Williams, D. F., Peck, J., Karabanov, E. B., Prokopenko, A. A., Kravchinsky, V., King, J., Kuzmin, M. I. : Lake Baikal Record of Continental Climate Response to Orbital Insolation During the Past 5 Million years. *Science* **278**, 1114-1117 (1997).
- (4) Yuretich, R., Melles, M., Sarata, B. : Clay minerals in the sediments of Lake Baikal: A useful climate proxy. *Jurnal of Sedimentary Research* **69** (3), 588-596 (1999).
- (5) Prokopenko, A. A., Williams, D. F., Karabanov, E. B., Khursevich, G. K. : Response of Lake Baikal ecosystem to climate forcing and  $p\text{CO}_2$  change over the last glacial / interglacial transition. *Earth and Planetary Science Letters* **172**, 239-253 (1999).
- (6) Karabanov, E. B., Prokopenko, A. A., Williams, D. F., Khursevich, G. K. : A new record of Holocene climate change from the bottom sediments of Lake Baikal. *Palaeogeography, Palaeoclimatology, Palaeoecology* **156**, 211-224 (2000).
- (7) Horiuchi, K., Minoura, K., Hoshino, K., Oda, T., Nakamura, T., Kawai, T., : Palaeoenvironmental History of Lake Baikal during the last 23,000 years. *Palaeogeography, Palaeoclimatology, Palaeoecology* **157**, 95-108 (2000).
- (8) Takeuti, S., Oda, T., Kawai, T. : Palynostratigraphy of core BDP93-1 from Lake Baikal, southeastern siberia. *Saito Ho-on Kai Museum Research Bulletin* **63**, 1-7, (1995).
- (9) BDP-93 Working Group : Preliminary result of the First drilling on Lake Baikal, Bugldeika Isthmus. *Russian Geology and Geophysics* **36** (2), 1-26 (1995).
- (10) Bezrukova, E. B. : Palynology of lateglacial and Holocene sediments of Lake Baikal. *Geography and Natural Resources* **3**, 54-61 (1998). (in Russian)
- (11) 尾田武文・佐藤智洋・高原光・箕浦幸治・長谷義隆・三好教夫・中村俊夫：バイカル湖集水域における最終氷期～後氷期植生変遷。地球環境変動の科学(井上・柏谷・箕浦編著。古今書院 pp.201-211 (1998).
- (12) 三好教夫・竹内徹・片岡祐子・上田圭一・守

- 田益宗・河室公康・高原 光・長谷義隆・井内  
美郎・尾田武文・箕浦幸治：バイカル湖内上部  
堆積物（VER94 / 5 - St. 21）の花粉分析. 日  
本花粉学会誌 **45** (1), 27-34 (1999).
- (13) Minoura, K., Oda, T., Nakamura, T., Tanchi,  
C., Sakai H., Kawai, T. : Estimation of the  
loss from the upper layer of sediments in the  
cores from boreholes BDP-96-1 and BDP-96-2  
(Lake Baikal). *Russian geology and geophysics*.  
**40** (8), 1262-1268 (1999).
- (14) 中村俊夫：タンデトロン加速器質量分析計によ  
る  $^{14}\text{C}$  測定における炭素同位対比別の補正に  
ついて –  $^{13}\text{C}$  年代産出の手引き –. 名古屋大学  
加速器質量分析計業績報告書 (V), 名古屋大  
学年代試料研究センター, pp.237-243 (1994).
- (15) 小田寛貴：加速器質量分析計による  $^{14}\text{C}$  /  $^{13}\text{C}$  比  
測定における同位体効果の補正. 名古屋大学加  
速器質量分析計業績報告書 (V), 名古屋大学  
年代試料研究センター, pp.244-251 (1994).
- (16) Mortlock, R. A., Froelich, P. N. : A simple  
method for the rapid determination of  
biogenic opal in pelagic marine sediments.  
*Deep-Sea Research* **36**, 1415-1426 (1989).
- (17) Eggemann, D. W., Manheim, F. T., Betzer, P.  
: Dissolution and analysis of amorphous  
silica in marin sediments. *Journal of  
Sedimentary Petrology* **50**, 215-225 (1980).
- (18) Davidov, Yu. S., Karashnikov, E. N.,  
Swicheva, I. V. : Forest. In Baikal Atlas.  
Garazy, G. I. (Ed.), Nauka, Moskow, p.132-  
133 (1993).
- (19) Nikoraeva, N. I., Obolkin, V. A. : Rainfall. In  
Baikal Atlas. Garazy, G. I. (Ed.), Nauka,  
Moskow, pp.64 (1993).
- (20) Grichuk, V. P. : Late Pleistocene Vegetation  
history, In "Late Quaternary Environments  
of Soviet Union" (Velichko, A. A. Ed.)  
University of Minnesota Press, Minneapolis,  
pp.155 - 178 (1984).
- (21) Bezrukova, Y. V., Bogdoanov, Y. A.,  
Williams, D. F., Granina, L. Z., Grachev, M.  
A., Ignatova, N. V., Karabanov, Ye. B.,  
Kuprsov, V. M., Kurylev, A. V., Letunova, P.  
P., Likjoshvay, Y. V., Chernyoyeva, G. P.,  
Shimarayeva, M. K., Yakushin, A. O. : Deep-seated change in the ecosystem of  
northern Lake baikal during the Hollcene.  
*Akademia Nauk SSSR Doklady* **321**, 1032-  
1037, (1991).
- (22) Qiu, L., Williams, D. F., Gvozdov, A.,  
Karabanov, Y. B. and Shimarayeva, M. K. : Biogenic silica accumulation and paleoproductivity in the northan basin of Lake Baikal during the Holocene. *Geology* **21**, 25-28, (1993).
- (23) Granina, L. Z., Grachev, M. A., Karabanov,  
Y. B., Kuprsov, V. M., Shimarayeva, M. K.,  
Williams, D. F. : Accumulation of biogenic  
silica in bottom sediments of Baikal. *Russian  
Geology and Geophysics* **34**, 126-135, (1993).
- (24) Carter, S. J., Colman, S. M. : Biogenic Silica  
records in Lake Baikal sedimengs : result  
from 1990 - 1992 American cores. *Journal fo  
Great Lakes Research* **20** (4), 751-760  
(1994).
- (25) Martinson, D. G., Pisias, N. G., Hays, J. D.,  
Imbrie, J., Moore Jr, T. C., Shackleton, N.  
J. : Age Dating and the Orbital theory of the  
ice Ages : Developement of a High-resolution  
0 to 300,000 year chronostratigraphy.  
*Quaternary Research* **27**, 1-29 (1987).
- (26) Colman, S. M., Jones, G. A., Rubin, M.,  
King, J. W., Peck, J. A., Orem, W. H. : AMS  
radiocarbon analyses from Lake Baikal,  
Siberia : Challenges of dating sediments  
from a large, oligotrophic lake : *Quaternary  
Science Reviews (Quarternary Geochronology)*  
**15**, 669-684, (1996).
- (27) Bradbury, J. P., Bezrukova, E. V.,  
Chernyaeva, G., Colman, S. M., Khrusevich,  
G., King, J., Likhoshway, Y. : A synthesis of  
post-glacial diatom records from Lake  
Baikal. *Journal of Paleolimnology* **10**, 231-  
251 (1994).